

DESCRIPCIÓN DE DOS ESPECIES NUEVAS DEL GÉNERO *EPIPOLOPS* H.S. DE SUDAMÉRICA (HEMIPTERA-HETEROPTERA- LYGAEIDAE BLESIONOTINAE)

HARRY BRAILOVSKY*

RESUMEN

Se describen dos especies nuevas del género *Epipolops*, una capturada en Brasil y la otra en Venezuela; *E. meridionalis* Piran es sinonimizada dentro de *E. frondosus* H.S.; se ilustran la mayoría de las especies y se incluye una clave para separar las especies conocidas.

Palabras clave: Taxonomía, Hemiptera, Heteroptera, Lygaeidae, Bledionotinae, *Epipolops*, Especies Nuevas, Sudamérica.

ABSTRACT

Two new species of *Epipolops* collected in Brazil and Venezuela are described; *E. meridionalis* Piran is synonymized with *E. frondosus* H.S.; some of the species are illustrated and a key to the known species is included.

Key words: Taxonomy, Hemiptera, Heteroptera, Lygaeidae, Bledionotinae, *Epipolops*, New Species, South America.

INTRODUCCIÓN

El género *Epipolops* H.S. queda caracterizado por tener los ojos pedunculados, el *tylus* desprovisto de una sutura, la comisura claval bien desarrollada, el *hamus* presente, las coxas posteriores contiguas, los hemélitros rebasando el ápice del abdomen, el cuerpo con una coloración pálida y todo él espaciadamente cubierto con cerdas largas y erectas.

Las dos especies que se describirán en párrafos posteriores elevan a ocho el número total conocido, cuyos límites distribucionales corren desde el norte de México hasta el norte de la República Argentina, siendo habitualmente recolectados al sacudir el follaje de arbustos y árboles.

Las abreviaturas usadas en el texto son: **CAS** (California Academy of Sciences, Golden Gate Park). **IBUNAM** (Instituto de Biología, Universidad Nacional Autónoma de México). **MZP** (Museum Zoologia, Universidade de São Paulo, Brasil). **UCV**

* Instituto de Biología, UNAM. Departamento de Zoología, Laboratorio de Entomología, Apartado Postal 70-153 C.P. 04510 México, D.F., UNAM

(Universidad Central de Venezuela, Escuela de Agronomía Maracay). **USNM** (National Museum of Natural History, Smithsonian Institution, Washington, D.C.).

Las medidas están expresadas en milímetros.

Epipolops arboricolus Brailovsky sp. nov.

(Figs. 7, 10)

Holotipo macho. Coloración dorsal. Amarillo ocráceo y con las siguientes manchas de color negro: un par sobre los callos, otro par en los ángulos humerales, otro más en la base del escutelo, otro en el tercio medio distal del *clavus* (a veces ausente), otro en el tercio medio del margen costal del *corium*, otro par en el endocorio y cercano al margen apical y un par cubriendo los ángulos apicales del propio *corium*; artejos antenales I a III amarillo ocráceo castaño pálido y con la unión basal del II y III pardo; artejo antenal IV con la mitad proximal amarillo ocre y el resto pardo oscuro; ojos y ocelos rojizos; pedúnculo ocular amarillo ocráceo y con una banda pardo castaño muy delgada corriendo sobre el margen externo y otra sobre el margen interno; escutelo amarillo ocráceo y con la "Y" blanco cremoso; membrana hemelital ambarino oscuro. *Coloración ventral.* Incluyendo las patas de color amarillo blanquecino pálido y con una mancha semidisoidal pardo claro en la propleura, mesopleura y metapleura y en la unión intersegmental de los esternitos abdominales IV-V y V-VI; artejos rostrales anaranjado castaño y con el ápice del IV negro; tercio medio de los esternitos abdominales II y III amarillo-anaranjado pálido.

Cabeza. Longitud total: 0.62; longitud del pedúnculo ocular incluyendo el ojo: 0.60; anchura a través de los ojos: 1.52; distancia interocelar: 0.19; ojos pedunculados; disco cefálico incluyendo los pedúnculos oculares con setas largas, delgadas y de color negro; artejo antenal I largo, delgado y extendiéndose más allá del ápice del pedúnculo ocular; longitud de los artejos antenales: I, 0.64; II, 0.50; III, 0.34; IV, 0.52; rostro alcanzando el ápice de la mesocoxa y con el artejo rostral I truncándose en la región gular posterior a nivel de la base del pedúnculo ocular. *Tórax. Pronoto.* Longitud total: 0.88; anchura a través de los ángulos humerales incluyendo la proyección: 1.57; bordes anterolaterales con dos pares de proyecciones laterales, el par anterior es de aspecto espatulado, con los bordes crenados y con 6 a 7 setas largas y de color negro y que emergen de la propia proyección y el par posterior es cercanamente esférico, emarginado del punto más distal del borde posterior y correspondiente a los ángulos humerales y con los bordes crenados y con 3 ó 4 setas, medianas (Fig. 7); glándula senescente metatorácica elíptica. *Escutelo.* Longitud: 0.56; anchura máxima: 0.76; disco con una elevación en "Y". *Hemélitro.* Longitud de la comisura claval: 0.46; anchura máxima a través de ambos hemélitros: 1.80; longitud total del borde apical del *corium*: 0.96; relativamente esbelto; margen costal del *corium* semihialino, medianamente expandido, con la expansión basal corta, roma y colocada paralelamente al escutelo, (Fig. 10); membrana hemelital rebasando el ápice del abdomen. Longitud total del cuerpo: 4.18.

Holotipo macho. BRASIL: AMAZONAS: 18.1 km., al Este de Campinas Field Station Km. 60 al Norte de Manaus, 02°30'SO, 60°15' Oeste, recolectado el 22 de

marzo de 1979 por Montgomery, Erwin, Schimel, Krischik, Date y Bacon. Depositado en **USNM**.

Paratipo macho: Mismos datos que el holotipo. Depositado en **IBUNAM**.

Discusión. Esta especie se relaciona con *E. lenkoi* Canter, teniendo ambas un par de proyecciones espatuladas en el lóbulo pronotal anterior. *E. arboricolus* Brailovsky sp. nov., difiere en que las proyecciones del lóbulo posterior del pronoto, emergen de la porción más distal del borde posterior y correspondiente a los ángulos humerales (Fig. 7) mientras que en *E. lenkoi* la proyección pronotal posterior está alejada del ápice y se proyecta por encima de los ángulos humerales (Fig. 4). La expansión basal del margen costal del *corium* de *E. arboricolus* es corta y roma (Fig. 10) y el artejo antenal I es más largo y rebasa el ápice de los ojos, mientras que en *E. lenkoi* es más corta y no rebasa el pedúnculo ocular y la expansión basal del *corium* es sinuada y apenas saliente (Fig. 13).

Etimología: El nombre específico está dado en función de que esta especie fue capturada en la fronda de árboles tropicales.

***Epipolops bellus* Brailovsky sp. nov.**

(Fig. 1)

Holotipo hembra. Coloración dorsal. Amarillo ocráceo pálido y con las siguientes manchas negras: un par en los ángulos humerales, un par en el *clavus* y cercano a la comisura claval, y otro par en el tercio medio del endocorio; ángulo apical del *corium* con sólo el borde parduzco; artejos antenales I a III amarillo ocráceo y el IV anaranjado castaño; ocelos y ojos con un tenue reflejo rosa pálido; pedúnculos oculares amarillo ocráceo y con una banda pardo castaño muy delgada corriendo sobre el margen externo y otra en el margen interno; escutelo amarillo ocráceo y con la "Y" amarillo algo más brillante; membrana hemelítral ambarino translúcido; segmento abdominal VI amarillo ocre y con dos manchas discoidales pardas; segmentos abdominales V y VII enteramente amarillo ocráceos. **Coloración ventral.** Incluyendo los artejos rostrales (ápice del IV negro) y podálicos de color amarillo pálido y con una mancha semidiscoidal pardo clara en la propleura, mesopleura y metapleura; tercio medio de los esternitos abdominales II a IV amarillo anaranjado pálido.

Cabeza. Longitud total: 0.56; longitud del pedúnculo ocular incluyendo el ojo: 0.64; anchura a través de los ojos: 1.32; distancia interocelar: 0.20; ojos pedunculados; dorso cefálico incluyendo los pedúnculos oculares con setas largas, delgadas y de color blanquecino; artejo antenal I largo delgado y extendiéndose más allá del ápice del pedúnculo ocular; longitud de los artejos antenales: I, 0.72; II, 0.44; III, 0.32; IV, 0.44; rostro alcanzando el ápice de la mesocoxa y con el artejo rostral I casi tocando el borde prosternal y rebasando la base del pedúnculo ocular. **Tórax.** **Pronoto.** Longitud total: 0.86; anchura a través de los ángulos humerales incluyendo la proyección: 1.66; bordes anterolaterales con dos pares de proyecciones laterales, el par anterior es lamelar con los bordes crenados y con una seta larga y blanquecina que emerge de la propia proyección y el par posterior es espatulado y emerge cerca del punto distal del borde posterior y correspondiente a los ángulos humerales, presentando los bordes crenados y con 3 ó 4 setas medianas y blanque-

cinas (Fig. 8); glándula senescente metatorácica elíptica. *Escutelo*. Longitud: 0.48; anchura máxima: 0.71; disco con una elevación en "Y". *Hemélitro*. Longitud de la comisura claval: 0.52; anchura máxima a través de ambos hemélitros; 2.06; longitud total del borde apical del *corium*: 1.44; conspicuamente ensanchado; margen costal del *corium* semihialino, con una proyección espiniforme medianamente saliente y colocada paralelamente al escutelo (Fig. 11); longitud total del borde apical del *corium* casi 2.5 veces mayor que la longitud total de la comisura claval; membrana hemelital rebasando el ápice del abdomen. Longitud total del cuerpo: 4.20.

Macho. *Cabeza*. Longitud total: 0.56; longitud del pedúnculo ocular incluyendo el ojo: 0.62; anchura a través de los ojos: 1.32; distancia interocelar: 0.19; longitud de los artejos antenales: I, 0.66; II, 0.40; III, 0.28; IV, 0.42. *Pronoto*. Longitud total: 0.78; anchura a través de los ángulos humerales incluyendo la proyección: 1.46. *Escutelo*. Longitud: 0.44; anchura máxima: 0.60. *Hemélitro*. Longitud de la comisura claval: 0.46; anchura a través de ambos hemélitros: 1.76; longitud total del borde apical del *corium*: 1.28. Longitud total del cuerpo: 3.96.

Holotipo hembra. VENEZUELA; CARACAS: Altamira, recolectado el 4 de enero de 1968 por J. y B. Bechine. Depositado en UCV.

Paratipo macho. Un ejemplar de VENEZUELA: Caracas recolectado el 5 de marzo de 1967 por M. Pérez Ávila. Depositado en IBUNAM.

Paratipo hembra. Uno de VENEZUELA: Caracas sin más datos. Depositado en CAS.

Discusión. Al igual que en *E. lenkoi* Canter, y *E. arboricolus* descrito en párrafos anteriores, esta nueva especie posee dos pares de proyecciones en los bordes anterolaterales del pronoto. La posición de origen que guarda la proyección posterior de *E. bellus* Brailovsky sp. nov. es intermedia con respecto a los otros dos taxa. En *E. arboricolus* emergen del extremo apical del borde posterior, en *E. lenkoi* por encima de los ángulos humerales y en *E. bellus* un poco por encima del ápice del borde posterior (Figs. 4, 7-8).

Un carácter que permite fácilmente segregar a esta especie nueva es el conspicuo ensanchamiento del hemélitro y la presencia de un proceso espiniforme agudo y mediano en el tercio basal del *corium* (Fig. 11). En las otras dos especies el hemélitro está medianamente ensanchado y la proyección basal del *corium* se limita a una saliente corta y roma o a una sinuosidad apenas insinuada (Figs. 10 y 13). Los callos pronotales de *E. lenkoi* y de *E. arboricolus* poseen dos manchas discoidales parduzcas ausentes en el nuevo taxa.

Epipolops frondosus H.S.

Epipolops frondosus H.S., 1853. Wanz. Ins. 9: 168

Epipolops meridionalis Piran, 1958. Rev. Soc. Entomol. Argent. 20: 57-58 nov. syn.

Piran (1958) al describir a *E. meridionalis* del norte de la República de Argentina en la Provincia de Jujuy, menciona que es una especie próxima a *E. frondosus*, sin embargo, no puntualiza ningún rasgo distintivo. En el mismo trabajo queda ilustrado *E. meridionalis* y al comparar a este taxa con el lote de *E. frondosus* analizado, no se encontraron caracteres para apoyar la validez de *E. meridionalis* que por ello queda aquí sinonimizada.

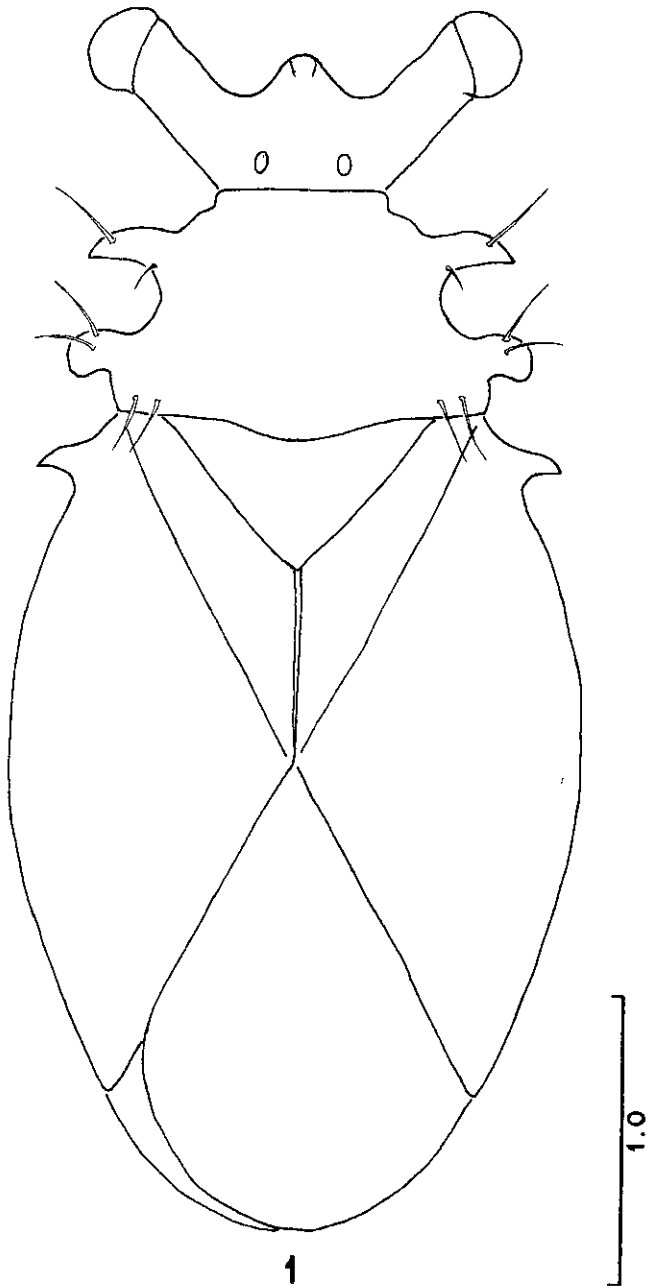
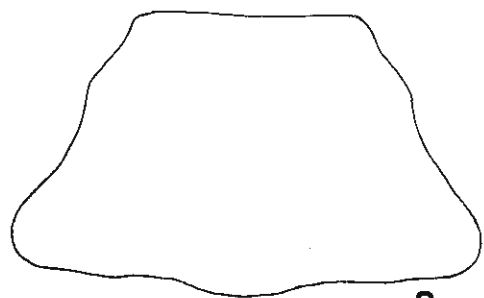
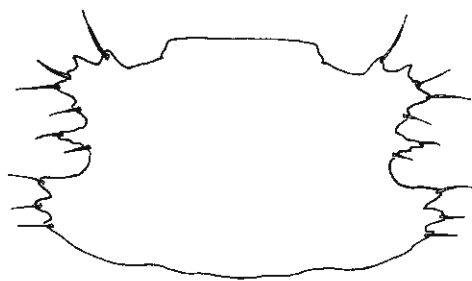


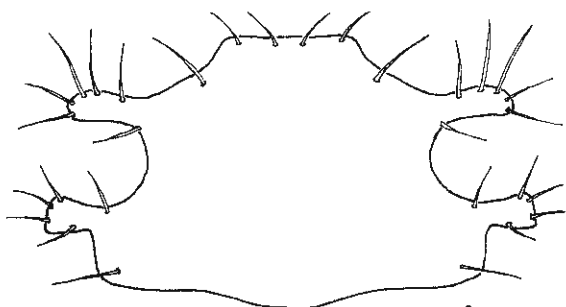
Fig. 1. Esquema en vista dorsal de *Epipolops bellus* Brailovsky sp. nov. Escala en milímetros.



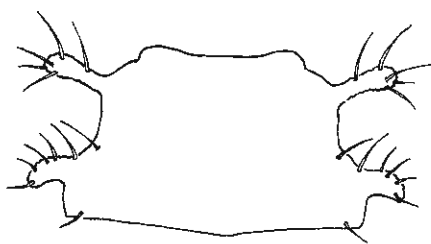
2



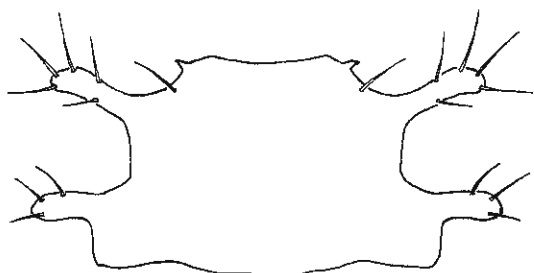
3



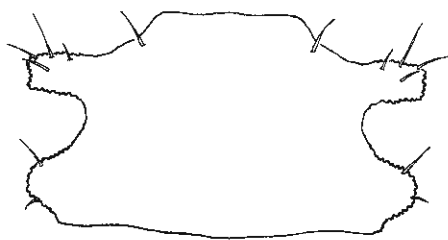
4



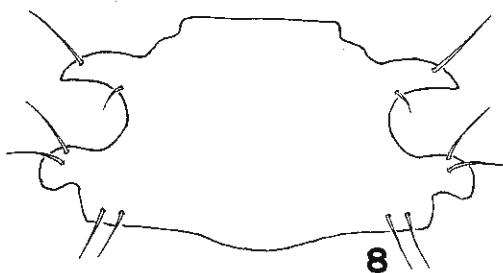
5



6



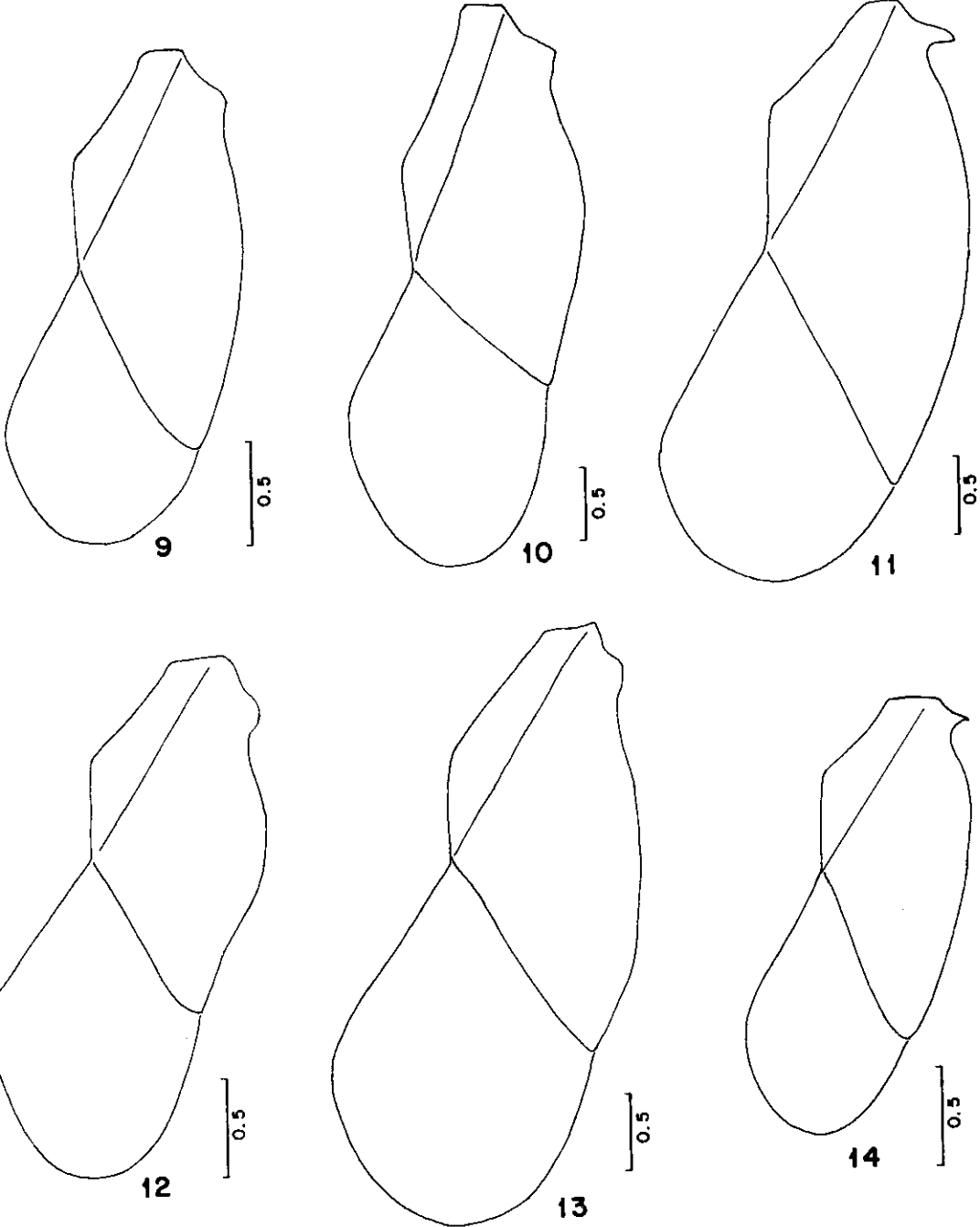
7



8

0.5

Figs. 2-8. Pronoto en vista dorsal de *Epipolops* spp. 2. *E. oculuscancrri* (De Geer). 3. *E. frondosus* H.S. 4. *E. lenkoi* Canter. 5. *E. quadrispinus* Stål. 6. *E. mucronatus* (Distant). 7. *E. arboricolus* Brailovsky sp. nov. 8. *E. bellus* Brailovsky sp. nov. Escala en milímetros.



Figs. 9-14. Hemélitro de *Epipolops* spp. 9. *E. mucronatus* (Distant). 10. *E. arboricolus* Brailovsky sp. nov. 11. *E. bellus* Brailovsky sp. nov. 12. *E. frondosus* H.S. 13. *E. lenkoi* Canter. 14. *E. quadrispinus* Stål. Escala en milímetros.

CLAVE PARA SEPARAR LAS ESPECIES CONOCIDAS DE *EPIPOLOPS* H.S.

- 1 Bordes anterolaterales del pronoto sin proyecciones laterales (Fig. 2) . *E. oculuscancri* (De Geer)
- 1' Bordes anterolaterales del pronoto con uno o dos pares de proyecciones laterales 2
- 2 Bordes anterolaterales del pronoto con sólo un par de proyecciones laterales que emergen del margen posterior *E. acuminatus* (Distant)
- 2' Bordes anterolaterales del pronoto con dos pares de proyecciones laterales que emergen del tercio anterior y del tercio posterior 3
- 3 Proyección anterior y posterior de los bordes anterolaterales del pronoto espatuladas o lobuladas o lameladas o multiespinadas y habitualmente crenuladas 5
- 3' Proyección anterior y posterior de los bordes anterolaterales del pronoto sencillas, agudas o espinosas 4
- 4 Tercio basal del *corium* con un conspicuo ensanchamiento proyectado en una saliente aguda y dentada (Figs. 5 y 14) *E. quadrispinus* Stål
- 4' Tercio basal del *corium* expandido pero nunca proyectado en una saliente aguda y dentada (Figs. 6 y 9) *E. mucronatus* (Distant)
- 5 Proyección anterior de los bordes anterolaterales del pronoto, serrados, multiespinados y con una cerda alargada emergiendo de cada saliente (Figs. 3 y 12) *E. frondosus* H.S.
- 5' Proyección anterior de los bordes anterolaterales del pronoto nunca multiespinados y consistiendo en un proceso lobulado, espatulado y con cerdas alargadas y emergiendo de los bordes 6
- 6 Tercio basal del *corium* ampliamente ensanchado, y con un proceso espiniforme mediano (Fig. 11); callos pronotales sin manchas discoidales parduzcas *E. bellus* Brailovsky sp. nov.
- 6' Tercio basal del *corium* medianamente ensanchado, sin un proceso espiniforme y habitualmente con una saliente roma o bien todo él sinuado (Figs. 10 y 13); callos pronotales con dos manchas discoidales parduzcas 7
- 7 Proyección posterior de los bordes anterolaterales del pronoto emergiendo del ángulo posterior del propio pronoto (Fig. 7); artejo antenal I más largo que el pedúnculo ocular. *E. arboricolus* Brailovsky sp. nov.
- 7' Proyección posterior de los bordes anterolaterales del pronoto emergiendo por encima de los ángulos humerales del propio pronoto (Fig. 4); artejo antenal I más corto que el pedúnculo ocular *E. lenkoi* Canter

AGRADECIMIENTOS

Agradezco al Dr. Nelson Papavero (MZP) el envío del holotipo macho de *E. lenkoi* Canter y a las siguientes personas e instituciones por el préstamo de material diverso: Dr. Paul H. Arnaud Jr. (CAS), Dr. Eduardo Osuna (UCV) y Dres. R.C. Froeschner y T. Erwin (USNM).

Extiendo mi gratitud al Biól. Vicente Hernández (IBUNAM) por las ilustraciones que acompañan al texto.

Especial agradecimiento al Consejo Nacional de Ciencia y Tecnología (CONACyT) y a la Dirección General del Personal Académico de la Universidad Nacional de México (DGAPA) por el apoyo económico brindado para visitar diversas colecciones Americanas.

LITERATURA CITADA

- CANTER, H.M. 1964. Contribuição ao conhecimento do genero *Epipolops* H. Schaeffer, 1853 (Hemiptera, Lygaeidae, Geocorinae). *Papeis Avulsos Zool.* 16. (6): 63-70.
- PIRAN, A. 1958. Hemiptera Neotropica I. *Rev. Soc. Ent. Argent.* 20: 57-61.